

三次元カスケード理論に基づく 空気シャワー粒子ラテラル分布の 数値計算プログラム開発

横浜国大・理工 藤田楓

背景と研究目的

- 空気シャワーシミュレーション
一次エネルギー → 大
計算時間 → 大
- 解析解を使った高速化も行われている
Ex.) COSMOS
一次元カスケード理論解の利用
“one dimensional hybrid AS(as/qas)”

三次元カスケード理論解（*）も求められているが、
使用例は少ない。

⇒ 空気シャワーシミュレーションに利用できないか？

（*） : The Lateral and the Angular Structure Functions of Electron Showers
Koichi KAMATA and Jun NISHIMURA
Progress of Theoretical Physics Supplement, Volume 6, February 1958,
Pages 93–155, <https://doi.org/10.1143/PTPS.6.93>

三次元カスケード方程式

$$\begin{array}{l}
 \text{電子密度} \\
 \pi \\
 \left. \begin{array}{l}
 \frac{\partial \pi}{\partial t} + \theta \frac{\partial \pi}{\partial r} = \int_0^1 \left[\frac{1}{1-\nu} \pi \left(\frac{E}{1-\nu}, t \right) - \pi(E, t) \right] \varphi(\nu) d\nu + 2 \int_0^1 \gamma \left(\frac{E}{u}, t \right) \Psi(u) du / u + \\
 \left[\int_{-\infty}^{+\infty} \sigma(\theta - \theta') \pi(\theta') d\theta' - \int_{-\infty}^{+\infty} \sigma(\theta') \pi(\theta) d\theta' \right] - \varepsilon \frac{\partial \pi}{\partial E} \\
 \text{制動放射の寄与} \qquad \qquad \qquad \text{電子対生成の寄与} \\
 \qquad \qquad \qquad \qquad \qquad \qquad \qquad \qquad \qquad \qquad \qquad \qquad \qquad \qquad \qquad \qquad \qquad \text{散乱の寄与} \qquad \qquad \qquad \text{電離損失の寄与}
 \end{array} \right\} \\
 \\
 \text{光子密度} \\
 \gamma \\
 \left. \begin{array}{l}
 \frac{\partial \gamma}{\partial t} + \theta \frac{\partial \gamma}{\partial r} = \int_0^1 \pi \left(\frac{W}{u}, t \right) \varphi(\nu) d\nu / \nu - \sigma_0 \gamma(W, t) \\
 \text{制動放射の寄与} \qquad \qquad \qquad \text{電子対生成の寄与}
 \end{array} \right\}
 \end{array}$$

B近似でのエネルギーの横広がり、

$$\Pi_E = -\frac{\varepsilon}{4\pi^3} \iint_{-i\infty}^{+i\infty} ds dp \left(\frac{E_0}{\varepsilon} \right)^s \left(\frac{\varepsilon}{E_s} \right)^2 \left(\frac{\varepsilon^2 \gamma^2}{E_s^2} \right)^{-p-1} \times \Gamma(p+1) \Gamma(s-1+2p) \mathfrak{M}_2(p, -2p-s+1, s, t)$$

解析的に解けない 数値計算も困難！ → 空気シャワー計算にほとんど利用されてこなかった。

新居による数値計算手法(一様大気)①

電子エネルギー密度

$$\Pi_E(E_0, 0, r, t) = \frac{1}{4\pi^2 i} \int_c \left(\frac{E_0}{\varepsilon}\right)^s ds H_1(s) e^{\lambda_1(s)t} \times \frac{\varepsilon^3}{E_s^2} \mathfrak{M}_E(s, E_0, r)$$

E_0 : 入射電子エネルギー r : シャワー中心からの距離 t : 発達距離
 s : エイジパラメータ ε : 臨界エネルギー 84 MeV

$$\begin{aligned} \mathfrak{M}_E(s, E_0, r) = & \left(\frac{\varepsilon r}{E_s}\right)^{s-3} \sum_{i=1}^M \sum_{j=1}^N \frac{C_i(s) D_j(s)}{\alpha_i(s)^{s/2-1/2}} \times \left\{ \Gamma\left(-\frac{s}{2} + \frac{3}{2}, \frac{\beta_j(s)^2 \varepsilon^2 r^2}{\alpha_i(s) E_s^2}\right) \right. \\ & - \Gamma\left(-\frac{s}{2} + \frac{3}{2}, \frac{E_0^2 r^2}{\alpha_i(s) E_s^2}\right) \left. \right\} \\ & - \left(\frac{\varepsilon r}{E_s}\right)^{s-2} \sum_{i=1}^M \sum_{j=1}^N \frac{C_i(s) D_j(s) \beta_j(s)}{\alpha_i(s)^{s/2}} \times \left\{ \Gamma\left(-\frac{s}{2} + 1, \frac{\beta_j(s)^2 \varepsilon^2 r^2}{\alpha_i(s) E_s^2}\right) \right. \\ & - \Gamma\left(-\frac{s}{2} + 1, \frac{E_0^2 r^2}{\alpha_i(s) E_s^2}\right) \left. \right\} \end{aligned}$$

新居による数値計算手法(一様大気) ②

鞍点法による積分計算

$$\Pi_E(E_0, 0, r, t) = \frac{1}{4\pi^2 i} \int_c \left(\frac{E_0}{\varepsilon}\right)^s ds H_1(s) e^{\lambda_1(s)t} \times \frac{\varepsilon^3}{E_S^2} \mathfrak{M}_E(s, E_0, r)$$

- $f_E(s) = s \ln \frac{E_0}{\varepsilon} + \ln H_1(s) + \lambda_1(s)t + \ln \mathfrak{M}_E(s, E_0, r)$

- $f'_E(s) = \ln \frac{E_0}{\varepsilon} + \lambda'_1(s)t + \frac{\mathfrak{M}'_E}{\mathfrak{M}_E} = 0$ この解、鞍点を s_1 とする

- $$\begin{aligned} \Pi_E(E_0, 0, r, t) &= \frac{1}{4\pi^2} e^{f_E(s_1)} \sqrt{\frac{2\pi}{f''_E(s_1)}} \\ &= \frac{1}{(2\pi)^{3/2}} \frac{\varepsilon^3}{E_S^2} \left(\frac{E_0}{\varepsilon}\right)^{s_1} H_1(s_1) e^{\lambda_1(s_1)t} \times \frac{\mathfrak{M}_E(s_1, E_0, r)}{\sqrt{\lambda''_1(s_1)t + (\mathfrak{M}'_E/\mathfrak{M}_E)'|_{s_1}}} \end{aligned}$$

数値計算プログラム開発

新居の方法に基づく計算の流れ

- 1) Prony内挿法により $\alpha_i(s), \beta_i(s), C_i(s), D_i(s)$ を計算
- 2) あるエイジ s での $\ln \mathfrak{M}_E(s, E_0, r)$ を計算
- 3) $\ln \mathfrak{M}_E(s, E_0, r)$ を s の多項式で近似
- 4) $\mathfrak{M}_E' / \mathfrak{M}_E, (\mathfrak{M}_E' / \mathfrak{M}_E)'$ 等を計算
- 5) 鞍点法による積分計算

```
#####  
## "The cascade theory with collision loss"  
## H.J.BHABHA, D.R.S and S.K.CHAKRABARTY, (16a)  
def A_Bhabha(s):  
    A=(4./3.+ALPHA_BHABHA) * ( di(s)+EMGAMMA-1.+1./s) + 1./2. -  
    1/(s*(s+1))  
    return A  
  
#####  
#16b式  
## "The Lateral and the Angular Structure Functions of Electron Showers"  
## Koichi KAMATA and Jun NISHIMURA, (3.13)  
def B(s):  
    B=2. * (1./(s+1.) - 1.360/((s+2.)*(s+3.)))  
    return B  
  
#####  
## dBds  
##  
def dBds(s):  
    dBds = 2. * (-1./((s+1.)**2) + 1.360/((s+2.)**2)*(s+3.)) +  
    1.360/((s+2.)*(s+3.))**2 )  
    return dBds  
  
#####  
## d2B/ds2  
##  
def d2Bds2(s):  
    d2Bds2 = 2. * (2.*((s+1.)**(-3)) - 2.* 1.360 * ((s+2.)**(-  
    3))*(s+3.)**(-1)) - 1.36*((s+2.)*(s+3.))**(-2.)) *  
    - 1.36*((s+2.)*(s+3.))**(-2.))*((s+3.)**(-2)) -  
    2.*1.36* ((s+2.)*(s+3.))**(-3))  
    return d2Bds2  
  
#####  
## "The cascade theory with collision loss"  
## H.J.BHABHA, D.R.S and S.K.CHAKRABARTY, (16b)  
def B_Bhabha(s):  
    B=2 * (1/s - (4./3.+ALPHA_BHABHA)/(s+1.)/(s+2.))  
    return B  
  
#####  
#  
#16c式  
## "The Lateral and the Angular Structure Functions of Electron Showers"  
## Koichi KAMATA and Jun NISHIMURA, (3.14)  
def C(s):  
    C=1./(s+2.) + 1.360/(s*(s+1.))  
    return C  
  
def g(s):  
    g=1./(s+2) + 1.360/(s*(s+1))  
    #g=1  
    return g  
  
#####  
#  
## dCds  
##  
def dCds(s):  
    dCds=-1./((s+2.)**2) - 1.360/((s**2)*(s+1.)) - 1.360/(s*((s+1.)**2))  
    return dCds  
  
#####  
#  
# d2C/ds2  
##  
def d2Cds2(s):  
    d2Cds2 = 2.*((s+2.)**(-3)) + 2. * 1.360 * (s**(-3)) * ((s+1.)**(-1)) +  
    1.36*(s**(-2))*((s+1.)**(-2.)) *  
    + 1.36*(s**(-2))*((s+1.)**(-2.)) + 2.*1.36* (s**(-  
    1))*((s+1.)**(-3))  
    return d2Cds2
```

開発したPythonプログラムの一部→

モンテカルロシミュレーション (MC) との比較による新居の方法の妥当性の検討

シミュレーションコード：Epics9.311

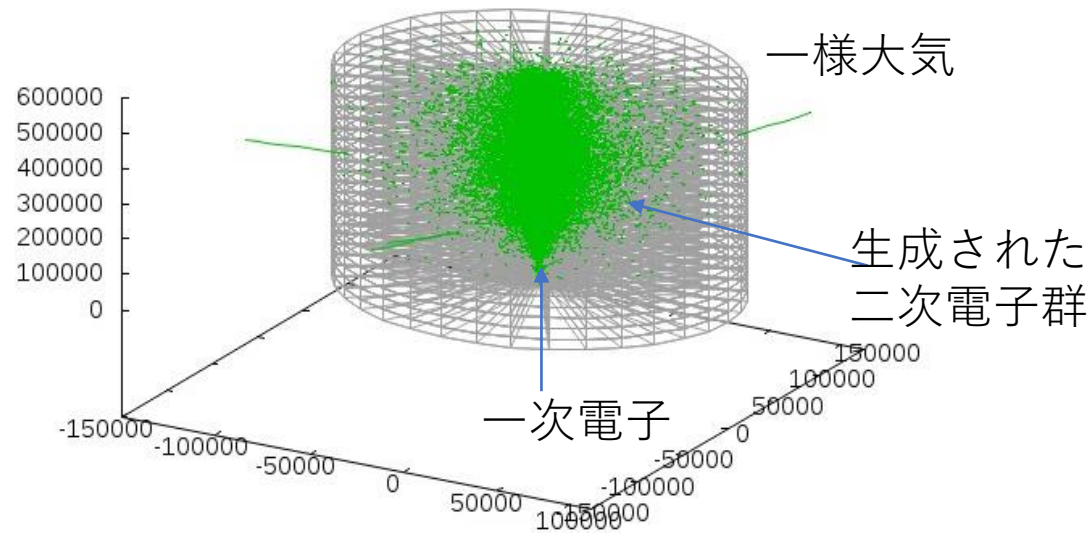
物質：一様大気 $\rho = 1.205 \times 10^{-3} \text{ g/cm}^3$

一次粒子：電子 (84 GeV, 840 GeV, 84 TeV)

閾値エネルギー：電子521 KeV、ガンマ線10 KeV

最大発達時の深さでの

- ・エネルギー密度分布、
- ・粒子数密度分布を比較



1 TeVの電子を入射したときの二次電子の飛跡

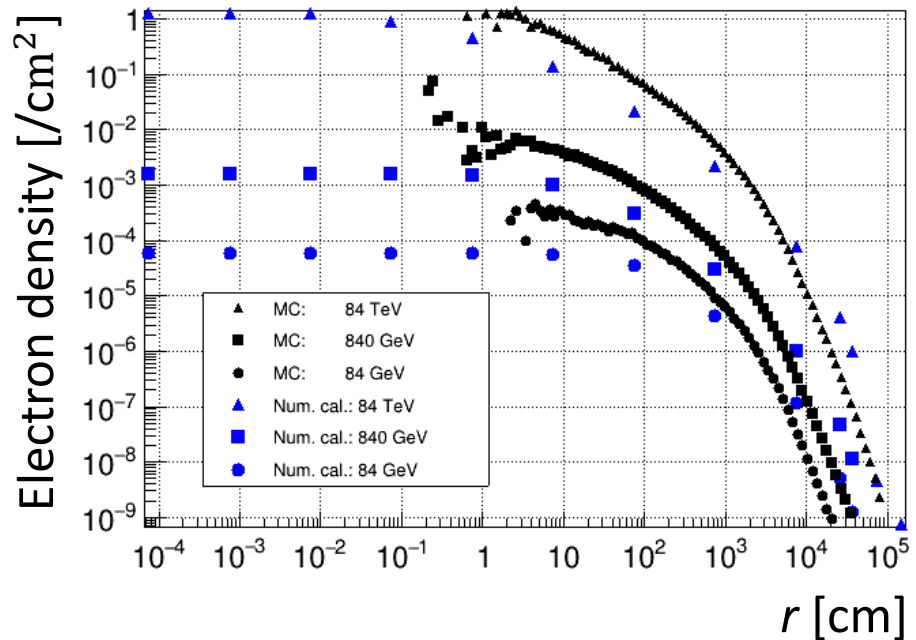
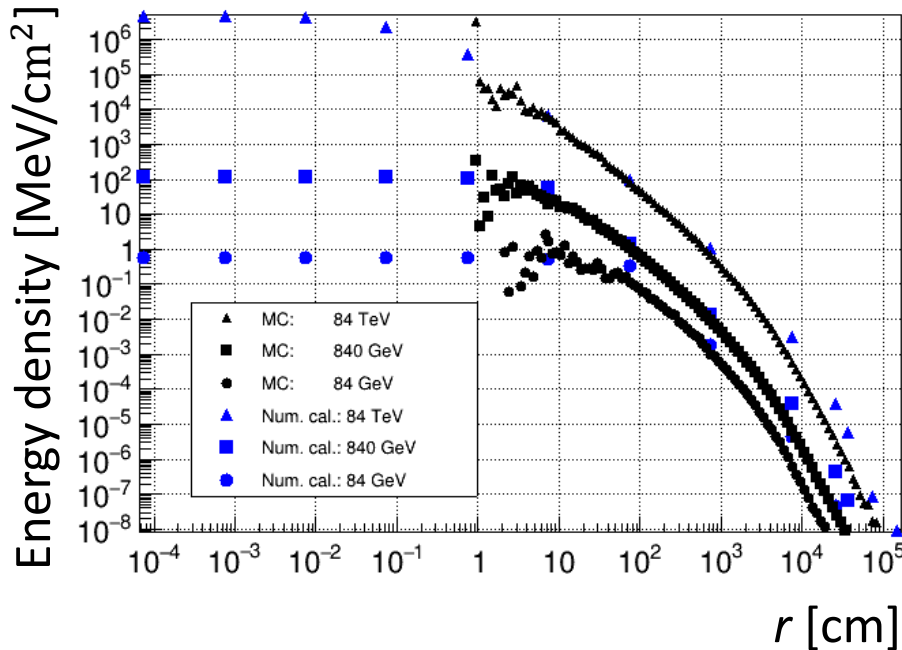
数値計算結果とEpics計算結果との比較 (一様大気)

エネルギーの横広がり

@シャワーの最大発達位置

粒子数密度の横広がり

@シャワーの最大発達位置



1 cm < r < 1000 cm : ~数%の差
r > 1000 cm : 差は拡大

~数10%の差

最大発達位置 (数値計算の値)

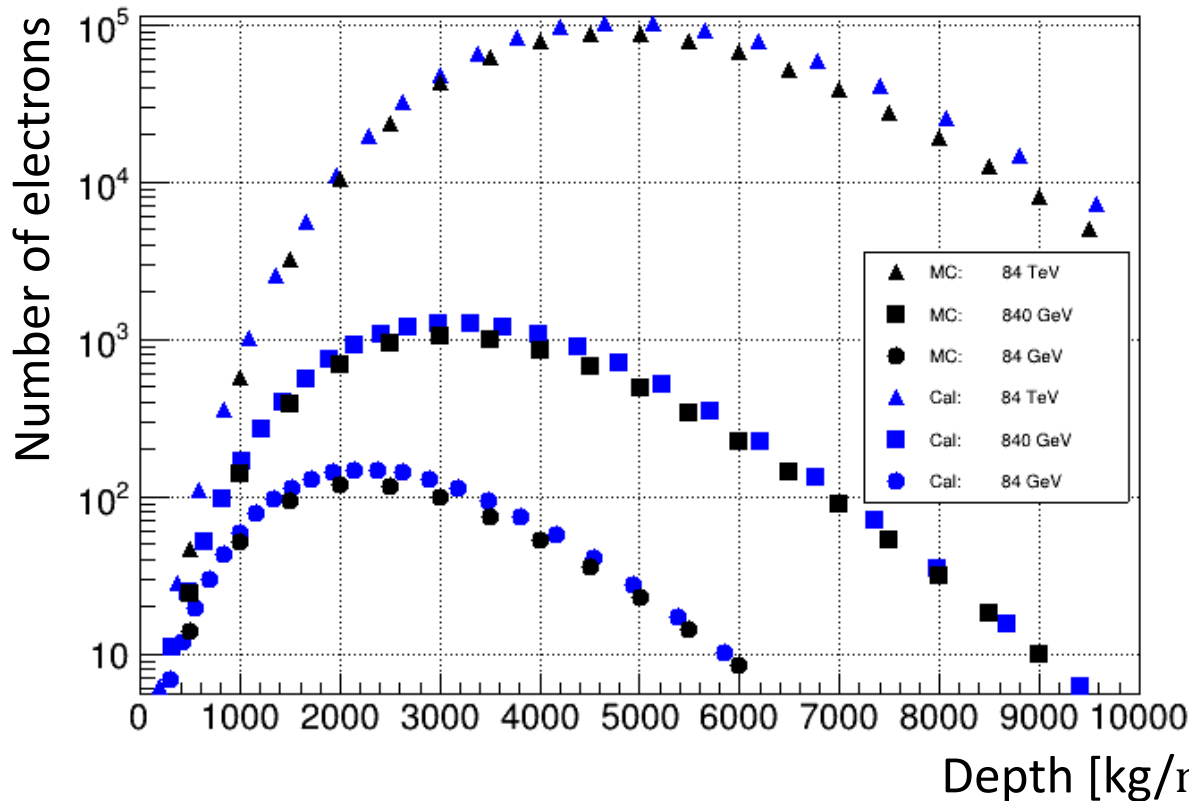
84TeV -> 12.93 r.l., 840GeV -> 8.287 r.l., 84GeV -> 5.963 r.l.

シャワー発達曲線の数値計算とMCの比較 (標準的な大気)

$$\Pi_E(E_0, 0, t) = \frac{1}{2\pi i} \int_{\delta-i\infty}^{\delta+i\infty} \frac{ds}{s} H_1(s) \left(\frac{E_0}{\varepsilon}\right)^s K_1(s, -s) e^{\lambda_1(s)t} \approx \frac{1}{(2\pi)^{1/2}} \frac{1}{s} \frac{H_1(s)K_1(s, -s)}{[\lambda'_{11}(s)t + 1/s^2]^{1/2}} \left(\frac{E_0}{\varepsilon}\right)^s e^{\lambda_1(s)t}$$

$$t = -\frac{1}{\lambda'_{11}(s)} \left[\ln\left(\frac{E_0}{\varepsilon}\right) - \frac{1}{s} \right]$$

シミュレーションコード：COSMOS X 0.08



差は10%~30%

まとめ

新居の計算方法に基づく三次元カスケード方程式の数値計算プログラムを開発した。

- 新居の計算方法の妥当性を検証するため、Epics9.311による一様大気中の発達結果と比較した。

エネルギー84 GeV、840 GeV、84 TeVの電子による
最大発達地点での

エネルギー密度差：～数% ($1 \text{ cm} < r < 1000 \text{ cm}$)
差が広がる ($r > 1000 \text{ cm}$)

粒子数密度差： ～数10%

- 標準的な大気中での発達曲線をCOSMOS Xと比較した。

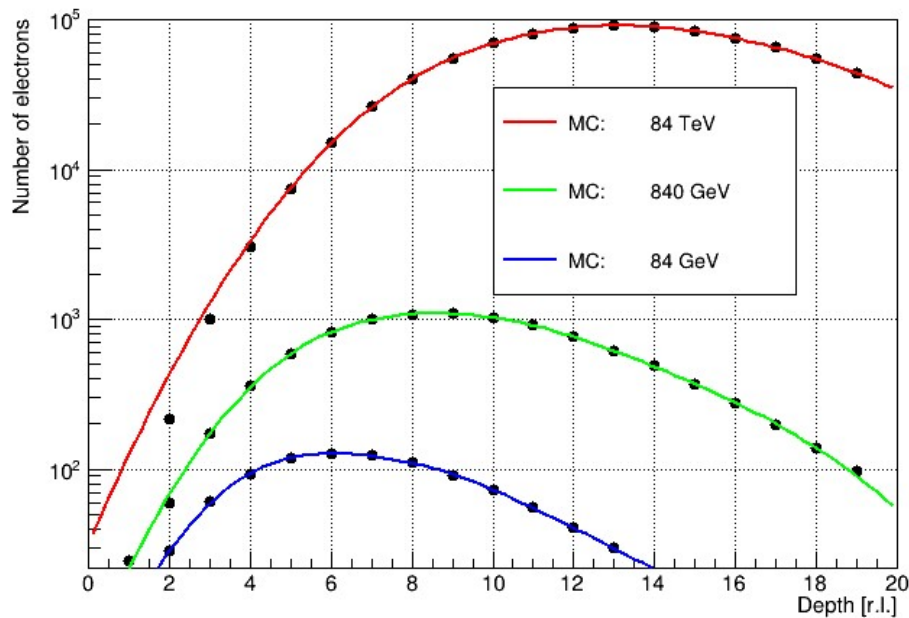
粒子数の差は10%～30%

今後

標準的な大気での横広がりをCOSMOS Xと比較する。

最大発達時の深さの見積もり

シャワー発達曲線



シャワーの最大発達時の深さ

Epics9.311

84TeV	13.1252 r.l.
840GeV	8.55745 r.l.
84GeV	6.03442 r.l.

数値計算の値

84TeV	12.93 r.l.
840GeV	8.287 r.l.
84GeV	5.963 r.l.